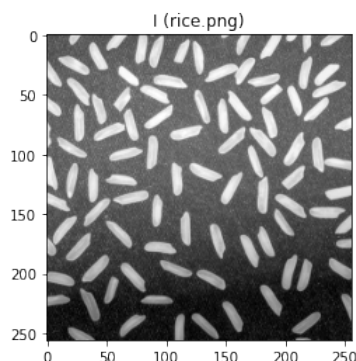


Part 1 – Harris 角点检测

1. 读取 rice.png，结果如下：



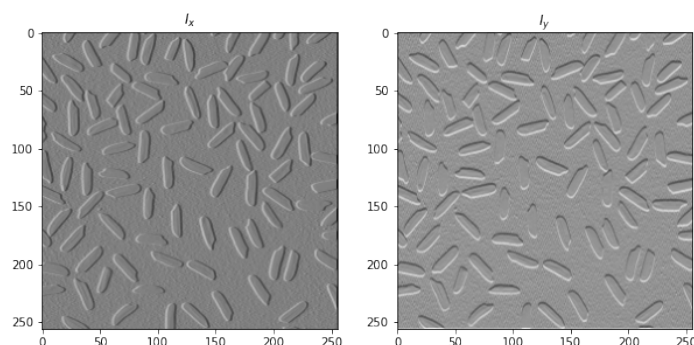
2. 计算每个像素的梯度 I_x, I_y 形成梯度图。按照梯度定义

$$I_x(i, j) = \frac{I(i, j+1) - I(i, j-1)}{2}$$

$$I_y(i, j) = \frac{I(i-1, j) - I(i+1, j)}{2}$$

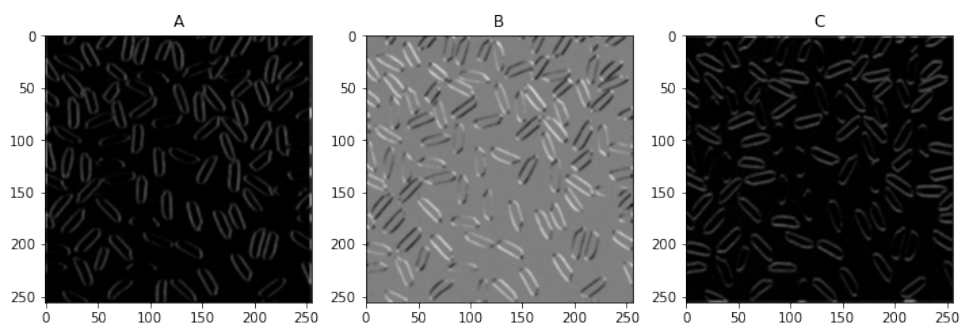
可以设计卷积核 $G_x = \frac{1}{2} \begin{bmatrix} 0 & 0 & 0 \\ -1 & 0 & 1 \\ 0 & 0 & 0 \end{bmatrix}$, $G_y = \frac{1}{2} \begin{bmatrix} 0 & 1 & 0 \\ 0 & 0 & 0 \\ 0 & -1 & 0 \end{bmatrix}$ 分别计算 x 和 y 方向的梯度图

（实际上我们可以选用长条形的 1×3 、 3×1 卷积，但方形的 3×3 卷积更容易理解）。将 I 转为 float32 数据类型后，使用 cv2.filter2D 函数完成卷积，设置 borderType 参数为 BORDER_CONSTANT 以对图像外圈补零，保证所有原始像素点均可求得梯度。结果如下：



3. 计算邻域内的梯度二次项。首先求出 $I_x^2, I_y^2, I_x I_y$ ，然后构造卷积核 $S = \begin{bmatrix} 1 & 1 & 1 \\ 1 & 1 & 1 \\ 1 & 1 & 1 \end{bmatrix}$ 分别

卷积三张二次项图来实现 3×3 邻域求和。进一步，使用 cv2.filter2D 函数完成卷积，同样对图像外圈补零，得到 $A(i, j)$ 、 $B(i, j)$ 、 $C(i, j)$ 结果如下：



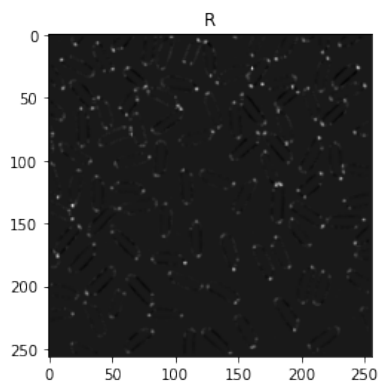
4. 用 A 、 B 、 C 的值的构成分块矩阵 M

$$M = \begin{bmatrix} A & B \\ B & C \end{bmatrix}$$

则可求取角点响应（corner-ness） R 值

$$R = \text{Det}(M) - k(\text{Tr}(M))^2 = (AC - B^2) - k \times (A + C)^2$$

代入各图，结果如下：

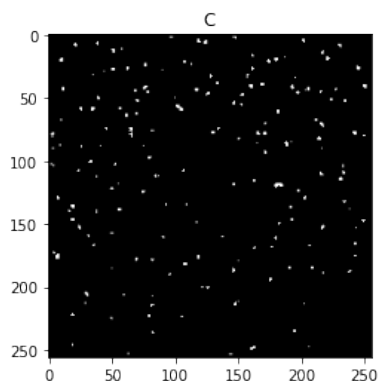


由于求取 R 值的参数是在 3×3 邻域操作后得到的，因此我们这里忽略了图像四周 2 像素宽的一圈（第一步求梯度图时引入 1 像素 padding，第三步邻域求和时引入 1 像素 padding，综合导致这里 2 像素宽的四周值无效），将其 R 置 0，因为那些数据不准确。

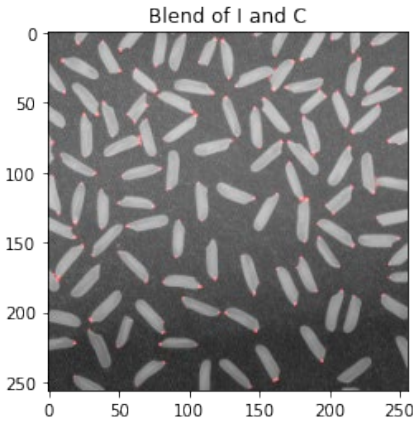
另外要注意，这里使用的是邻域求和后的图像参与运算，而不是求 Hessian 矩阵本身。

$$M \neq \begin{bmatrix} I_x^2 & I_x I_y \\ I_y I_x & I_y^2 \end{bmatrix}$$

5. 统计得到 R_{\max} 。求得 $R_{\max} = 41500812.0$ ，则阈值 $0.2R_{\max} = 8300162.4$ 。将大于该阈值的点认为是角点，得到角点图 C 如下：

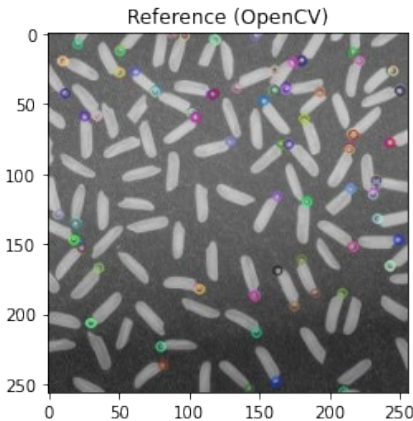


6. 将灰度图 I 转为 RGB 图，然后将 C 的幅度增强后叠加到 R 通道，即得到角点被红色标注出的结果图，如下：



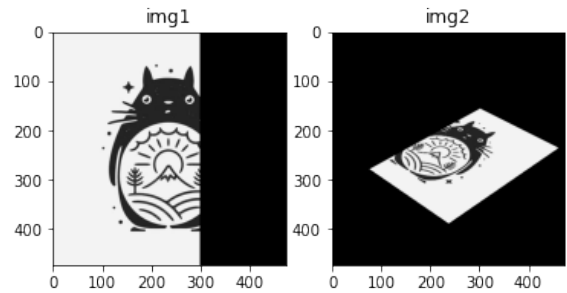
可以看到该算法确实检测出了图像中存在的“角点”位置。

后面我使用 OpenCV 的 Harris 角点检测器，使用相近的参数得到参考图像如下，两相对比，说明我们的结果正确。



Part 2 – 透视变换

1. 读取 `img1` 和 `img2`，利用之前实验的子程序即可完成，结果如下

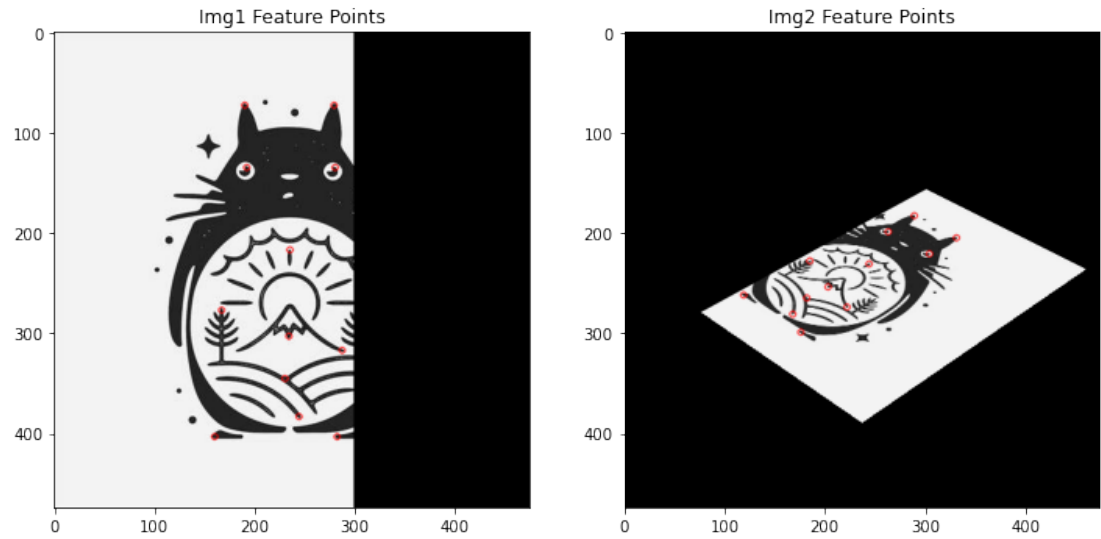


2. 我们试图确认一组 `img1` 到 `img2` 的变换，使得两图可以拼合出完整的原图。

3、4. 手工确认一系列 `img1` 与 `img2` 之间应该匹配的特征点，共 12 个，列表如下（标☆的是推荐点）：

序号	<i>img1</i> ($x_{1,i}, y_{1,i}$)		<i>img2</i> ($x_{2,i}, y_{2,i}$)	
	<i>x</i> (row)	<i>y</i> (col)	<i>x</i> (row)	<i>y</i> (col)
1☆	73	190	183	288
2☆	73	279	205	330
3☆	135	192	199	262
4☆	135	280	221	303
5☆	277	167	228	184
6☆	317	287	274	221
7☆	403	160	262	118
8☆	403	282	299	175
9	217	235	231	243
10	303	234	254	202
11	383	244	281	167
12	345	230	265	181

将各点在图上用红圈标出后如下：



5. 接下来，目的是寻找变换

$$P \begin{bmatrix} x_2 \\ y_2 \\ 1 \end{bmatrix} = \begin{bmatrix} mx_1 \\ my_1 \\ m \end{bmatrix}, \text{ 其中 } P = \begin{bmatrix} p_{11} & p_{12} & p_{13} \\ p_{21} & p_{22} & p_{23} \\ p_{31} & p_{32} & 1 \end{bmatrix}$$

A. shape

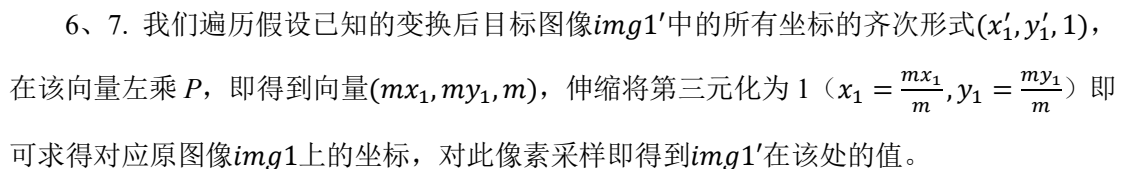
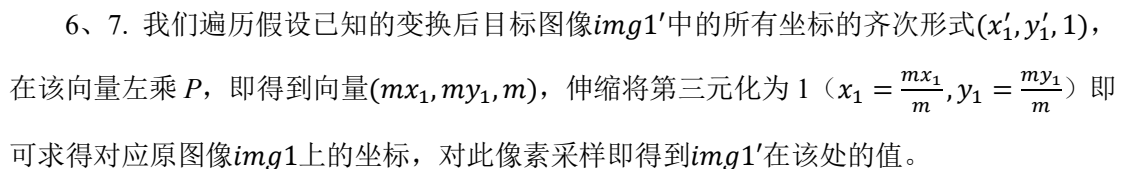
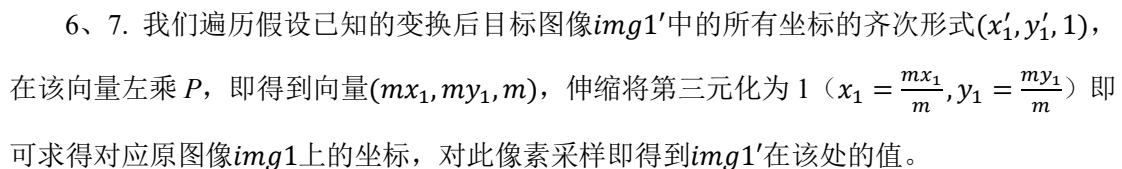
按照作业讲义的说明，排布矩阵 A 、向量 p 以及右边， A 有 2×12 行 8 列： $(24, 8)$ ，

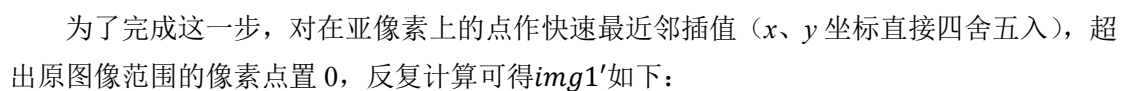
右边是长为 24 的向量，然后得到方程组 $A\vec{p} = [x_{1,1}, y_{1,1}, x_{1,2}, y_{1,2}, \dots, x_{1,n}, y_{1,n}]^T$ ，进而利用 A 的伪逆 $(A^T A)^{-1} A^T$ 求解之，得到 p ：

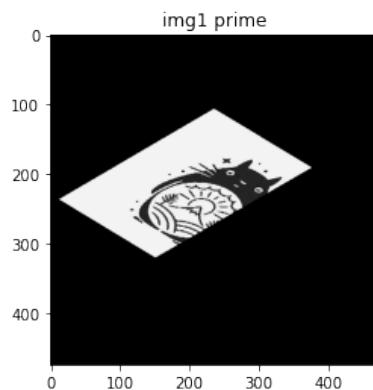
```
p = (np.linalg.inv(A.T @ A) @ A.T) @ rhs
p
array([[ 1.78618194e+00, -1.07304042e+00,  6.24174078e+01,  1.80851482e+00,
        1.05527867e+00, -4.40601013e+02, -2.52605120e-05,  3.17646451e-05])
```

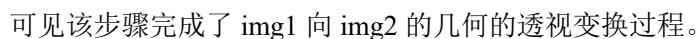
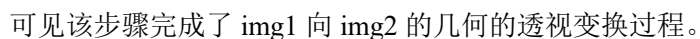
对应的矩阵 P 为:

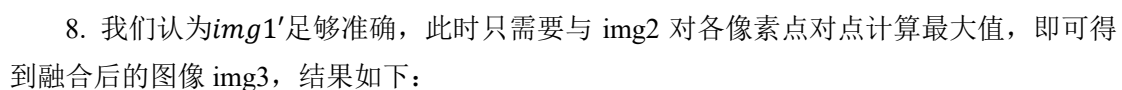
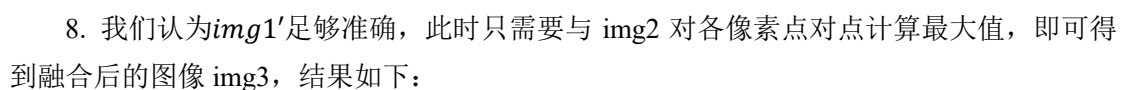
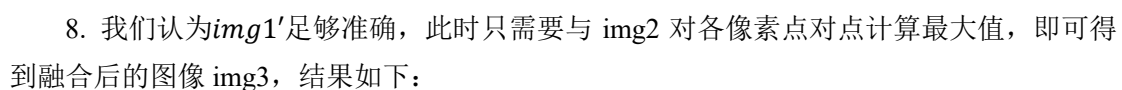
```
P = np.array([*p, 1]).reshape(3, 3)
P
array([[ 1.78618194e+00, -1.07304042e+00,  6.24174078e+01],
       [ 1.80851482e+00,  1.05527867e+00, -4.40601013e+02],
       [-2.52605120e-05,  3.17646451e-05,  1.00000000e+00]])
```

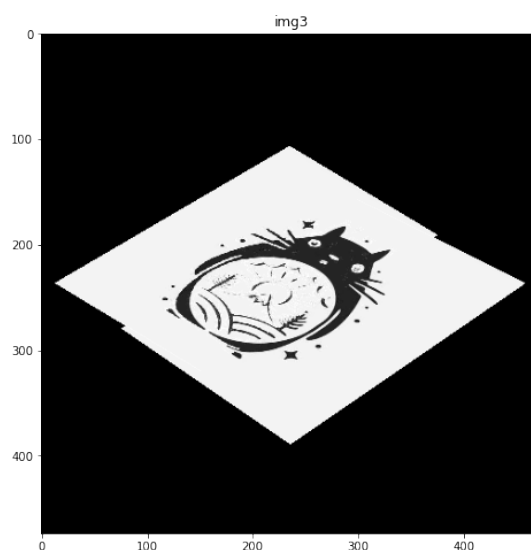
6、7. 我们遍历假设已知的变换后目标图像中的所有坐标的齐次形式 $(x'_1, y'_1, 1)$, 在该向量左乘 P , 即得到向量 (mx_1, my_1, m) , 伸缩将第三元化为 1 ($x_1 = \frac{mx_1}{m}, y_1 = \frac{my_1}{m}$) 即可求得对应原图像上的坐标, 对此像素采样即得到在该处的值。

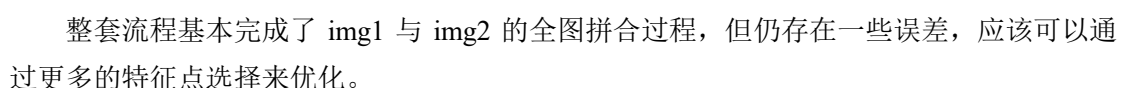
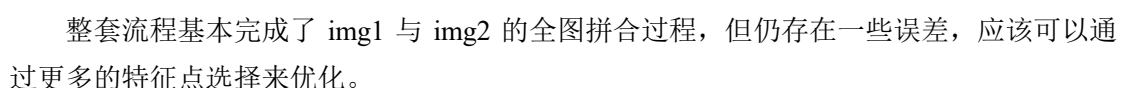
为了完成这一步, 对在亚像素上的点作快速最近邻插值 (x 、 y 坐标直接四舍五入), 超出原图像范围的像素点置 0, 反复计算可得如下:



可见该步骤完成了  向  的几何的透视变换过程。

8. 我们认为足够准确, 此时只需要与  对各像素点对点计算最大值, 即可得到融合后的图像 , 结果如下:



整套流程基本完成了  与  的全图拼合过程, 但仍存在一些误差, 应该可以通过更多的特征点选择来优化。